

### (3) 地質分離面の分布・性状と透水性 —花崗岩の例—

東大工学部・小島圭二, 三菱鉛業セミ・近藤比呂志, 熊谷組・鈴木猛康

花崗岩のような割れ目系岩体を模式的にあらわすと、とくに日本の場合には、表層に厚い風化帯が数10mあるので、図-1のようにあらわすことができる。最上部は風化して粘土化した部分で、花崗岩ではマサヘマサ土と呼ばれている。漸移帯は一般に薄く、せいぜい10m程度で、急速に新鮮岩体に移行する場合が多い。この部分は風化による細片化が進み、割れ目が多い。新鮮岩体には、マグマが冷却する時点まで下部節理や地殻変動によってもたらされた節理・断層などの地質分離面が存在する。ダム岩盤の力学的性質の表示によく用いられる岩盤分離記号で模式的に表現をすると、図中に記号を付した場所が、それぞれの分類区分A～Dに対応する。透水性はこの漸移帯を含む風化帯と、より深度の新鮮岩では大きな違いがあり、モデル化の考え方も異なる。例えば、透水係数はこれを境に急激に小さくなり、日本の花崗岩では、地下水位はこの境界部付近に存在することが多い。

風化帯では、粘土化、細片化、およびゆるみによる割れ目の開口、そこへの粘土の流入など、透水性のはづつきは、このような局所的な風化の程度のちがいに左右される。一方全体としては、風化度は表層から深部へと小さくなるから、これに応じた透水係数の変化が認められる。これらが状況は、しばしばダムサイトのルジオングラフ<sup>1</sup>で認められる。

新鮮岩体では、地下水はもっぱら節理や断層などの地層分離面を通って流れるので、透水性はこじらの割れ目面の分布・性状と密接に関連がある。卓越する方向をもつた割れ目群がいくつか組合せた岩体を、割れ目系岩体と呼ぶ。このようち岩体では、対象とする構造物や岩壘削の規模(寸法)によって、図中に示すように、それぞれ岩石構成材料とこの岩片の規模( $K_m$ )、節理系の規模( $K_j$ )、断層の規模( $K_f$ )の違いで透水性が異なる。小規模な構造物では、ある大きさ以上の断層は避けられ、節理の規模の領域内での設計・施工が可能であり、この場合には、後述するように平均的な透水性によるモデル化が可能である。しかし構造物の規模が大きくなると、断層は避けられず、断層の透水性が著しく大きい場合に

は、地下水  
はそ  
れに支  
配する  
もので  
断層と

いう特徴の水みちを考慮した、“断層の規模”とのモデル化が必要となる。

風化帯、新鮮岩体のどちらを対象とするかは、構造物の種類・目的によって異なるもので、例えば図中に示したようす、構造物と山ぞれの深さに対する位置づけが考えられる。ここでは、地下貯蔵、放射性廃棄物の地層処分など、地下の新鮮岩体の利用を目的として、比較的深い、低透水性岩体中の地下水流れの解析をおこなう立場から、花崗岩体について割れ目系の性状・分布と透水性との関連性を見出し、モデル化の検討をおこなう。

#### 1. 割れ目系岩体の透水性

割れ目沿いの透水係数 $K_j$ は、平行平板間の流れについて、次式で与えられる。

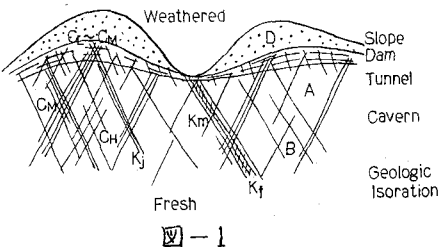
$$K_j = C \frac{8 b^2}{12 \nu} \quad \dots \dots \dots (1)$$

但し $b$ は、割れ目開口中、 $\nu$ は水の動粘性係数、 $C$ は重力の加速度で、 $L$ は断層面の粗度などに関する係数である。また、この割れ目を含む区間 $L$ の岩盤全体としこの透水係数は次式で与えられる。

$$K = C \frac{8 b^3}{12 \nu L} \quad \dots \dots \dots (2)$$

この区間に、 $b$ が同じ割れ目であれば、 $K$ はそれ倍となる。(2)式は、Witherspoon P.A. (1979) などにより、Cubic lawと呼ばれる関係である。

以上の式から、ある卓越割れ目系に関しては、透水係数は割れ目の開口中の影響が大きくて、また割れ目の密度(または間隔)によっても変化する。割れ目の開口幅



は、割れ目面の粗度や充填物質の有無や性状によって大きくかわるので、その影響は係数Cで表現されといふ。また実際の岩盤では小さな割れ目は連続性が悪い（長さが小）ので、これも一種の抵抗になるからCの中で表現されることにある。開口率はさらに外的要因、即ち割れ目面に作用する上載圧などの応力によっても変化する。卓抜割れ目系の透水性は以上のよう諸要因が組合すべきである。

実際の岩体では、このような卓抜割れ目系が集まつた割れ目群の透水性が問題となる。このよう三次元的の割れ目群に対しては、上述の平行平板流の近似では当てはまらない場合が多い。しかし岩体中の割れ目が或る程度以上多くなると、扱う岩体の寸法によつては、割れ目の影響が平均化されて、均質な岩体に近い扱い方ができることが多大である。例えば石油公団（1981）では、平均割れ目密度2~3本/mの花崗岩体について、5m区間の透水係数K<sub>f</sub>の対数平均

$$K = \frac{1}{n} \sum_{i=1}^n \log K_i \quad \dots \dots \dots (3)$$

を用いた2次元浸透流解析による地下空洞への湧水量の予測値と実測値とが良く一致することを報告している。これは、節理規模の割れ目群では全体としての割れ目の均質化とともにともなう割れ目系の連続性の増加が1つの大きな要因と考えられる。清辺（1981）は、岩体中に格子状割れ目系を考え、その出現率と割れ目の連続性の関係をバークレーションモデルで計算し、格子（割れ目）の連続性は、割れ目の出現率が全体の50%を超えると急増し、従って開口している割れ目では透水性も急増するであろうことを指摘している。これは又割れ目の多い岩体では、岩盤全体の透水係数は、平均的な粒状体のそれと等価な扱いができるが、割れ目が少ないと岩盤または“断層の規模”的割れ目などでは、割れ目沿いの水みちを考慮した解析が必要になることを意味している。

## 2. 岩体中の割れ目の性状と透水性

前章で述べた割れ目の透水性に関する規則性が實際の岩体についてどこまで当てはまるかを各地の花崗岩体で検討する。

（1）開口率と透水性——单一割れ目の透水性のはらつきの例

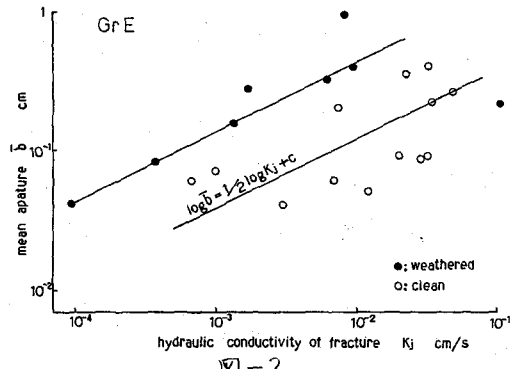


図-2

花崗岩（Gr E）の單一割れ目面について、約200m<sup>2</sup>の面内各所でのボーリング孔内で透水係数を測定し、ボアホールTVによる開口率の計測も含めて、割れ目自体の透水係数K<sub>f</sub>と平均開口率（ボーリング孔壁一周分の平均）との関係を求め図-2に示した。これだけの狭い範囲でも透水係数には大きなばらつきがある。とくに黒丸は面が風化し、やや粘土化したもので、これとクリーンな割れ目（白丸）とでは透水係数がほどく桁異なる。そして、白丸自体も、開口率が変化し、また（1）式に当てはめてみると、割れ上のばらつきはあるが、面の性状によりいくつかのグループに分かれうるようである。

## （2）粘土充填物の影響および深度

図-3は測定区間5m間に粘土のはすみのある割れ目とないものとを区別して、透水係数と深度の関係をプロットしてある。図中の実線は、室内実験による試料の透水係数の垂直応力による変化を併記したもので、GrA, GrBの花崗岩について野外における透水係数の

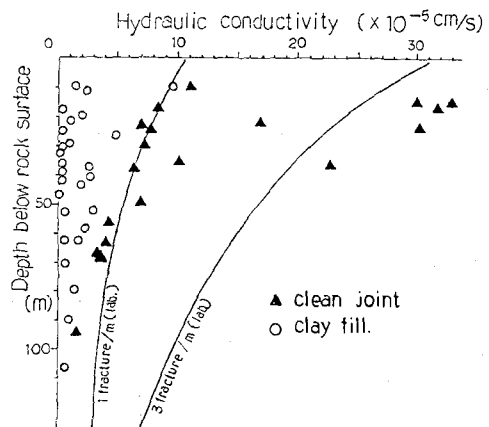


図-3

深度変化の勾配(両対数目盛で)が実験室のそれとほん等しい(近藤・小島(1981))といふ結果を利用して変化の傾向を示したもので、絶対値には意味はない。両曲線はどれぞれ一定区間に、割れ目本数が1および3の場合を記入したものである。粘土の有無が透水係数に明らかなに反映されている。

#### (3) 断層・破碎帯および深度の影響

図-4は、透水試験区間に、断層・破碎帯を含むもの112点、フリーな割れ目327点について、それぞれ深度と透水係数の関係をプロットし、10m毎にまとめた透水係数の平均値を算出して図示したものである。この例では、深度との相関および破碎帯の透水係数が大きくなる傾向が見出される。

以上(2)、(3)から、それら粘土充填物、断層・破碎帶等の割れ目の性状と透水性の相関を求める上で、割れ目の性状のグループングの重要性とこれらの要因の影響が大きいことなどが見出された。

#### (4) 割れ目密度、断層破碎帯と透水性

割れ目密度と透水性の相関は、透水性が割れ目の数の他に、既に述べたような諸要因に影響されたため、単純にプロットしてだけでは、一般には何ら相関関係が認められない。これはちょうど、岩盤せん断試験において、同一岩盤等級のもので一連の試験を重ねる限り、せん断強度や内部摩擦角を求めるしかないのについている。上記(2)、(3)の結果はそれを強く支持するものであり、観察によりほんの同じ性状の割れ目面の集りと判定され、比較的透水係数が高い(測定精度が良い)範囲では、しばしば両者の間に明りようの相関が見出せることもこのような試みの重要性を支持するものである。しかしこのよう目的で詳細な計測をしたデータはそれほど多くない(?)。本論でグループングの試案を提唱するのは早計である。一方問題となるのは、割れ目

が非常に多く透水性が大きい所であるから、見方を改めて、割れ目密集帯(割れ目が多くコアでは棒状となる)または、破碎角碎化した断層が、透水試験区間5m中何mをしめみかで表示し、これを累積破碎帯として、透水係数との関係を求めてみた。いうれば、“断層規模”的で割れ目密度との相関を求めたことになり、コアの観察もやりやすいし、調査の目的にも合っていると

いえよう。Gr D 地域の一例を図-1に示す。

3. 地下水流れにおける割れ目の性状の影響度  
以上の検討結果から、それぞれの割れ目面が、ほんの同じような性状をもつてゐる岩体では、透水性は割れ目密度または累積破碎帯と深度に関係した或る値が得られ、

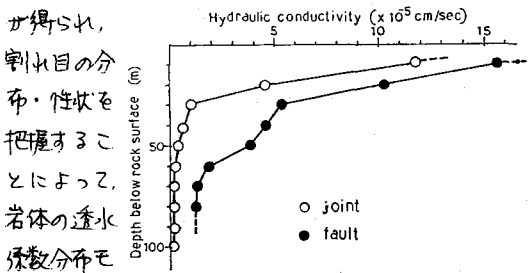


図-4

適切に作成できる見通しを得られたといえよう。しかし、現状では、割れ目面の性状と透水性の関係を、明確にとらえたデータが少ないので、岩体をモデル化するに当っては、平均的な透水係数を

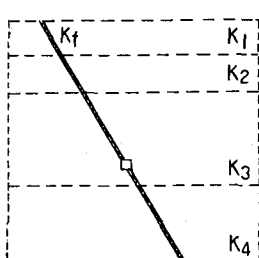


図-5

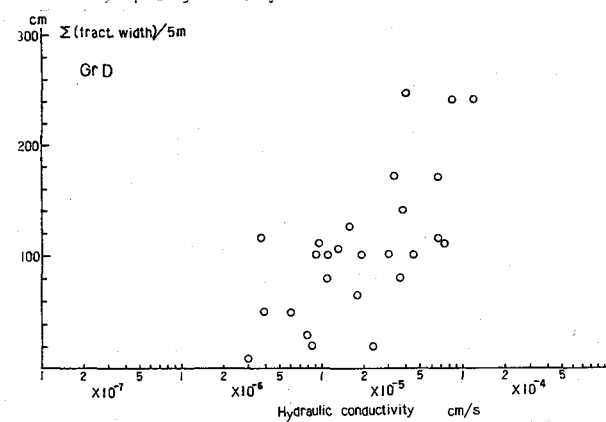


図-6

Case No.	Kx (cm/s)	Kz (cm/s)	Kf (cm/s)	Q (l/min)
2	$1 \times 10^{-6}$			0.108
4	$5 \times 10^{-7}$	$5 \times 10^{-6}$		0.442
7		$1 \times 10^{-6}$	$1 \times 10^{-5}$	0.640
8		$1 \times 10^{-6}$	$1 \times 10^{-4}$	5.32

表-1

もろいに解析が妥当か否か、どの程度の規模の破碎帯を水みちとして考慮すれば良いかの判断を、何ができるれば要があるということになる。

前述したように、普通の割れ目密度( $\text{数本}/\text{m}$ )の所では、節理規模の割れ目の影響は、平均化されずに透水係数は、等方均質な岩体平均値であらわされると判断される。一方、大きな断層や割れ目密集帯は、多くの場合平均的な透水係数よりも大きめ透水性を示すから特異な水みちとして扱う方が妥当のようである。そこで、地質条件によつてどうくらい湧水量が変化するかの目安を得るため、図-6に示すように、地下空洞への湧水に関する簡単なモデルを作成し、数値解析をおこなった。

解析に当つては、差分法を用い、地下水位の変動が定常状態で、降雨・不飽和域、空洞周辺のゆるみなどは考慮しない。また孔隙率は5%とし、透水係数の入力条件は表-1とした。空洞および破碎帯の規模は、どちらかとも等方均質な場合の湧水量 $Q$ を表-1に示す。岩体、破碎帯共深度方向に透水係数が変化する場合にはもっと大きい流量を示すが、実際には地域を広げると透水性と深さや割れ目密度など地質条件との相関を考慮すれば、あまり細かい検討は無意味であるので、この程度の例にとどめておく。ここに示した結果は、記述する規模の断層をどの程度まで水みちとして考慮すべきかのよりどころを示したものでありが、一般に破碎帯の透水係数が周囲より2桁違うと、違いが目立つところといえよう。この場合にも均質等方体に比べ、流れが破碎帯に集中し、平均的流量も1桁大きい結果が得られる。実際の例では、GRD地域では、平均透水係数が $10^{-6} \text{ cm/s}$ に対し破碎帯の透水係数が2桁周囲より高くなっている(金木・小島 1981)。実際では透水係数が1桁しか変わらなかったことなどにより、断層からの目立つた湧水は認められない。またA鉱山の坑道開塞プラグ地盤では、詳細な透水試験の結果、天盤部5m深さまでゆるみ領域が発達しており、周囲岩盤の透水係数 $10^{-6} \text{ cm/s}$ に対し2桁高い値を示すことが見出された。プラグ周辺の湧水状況をFEM解析によりシミュレートした

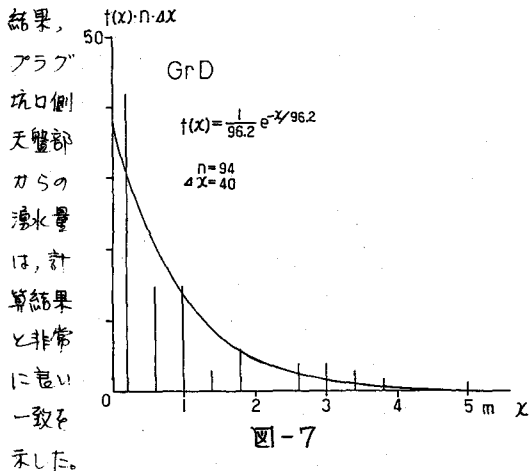
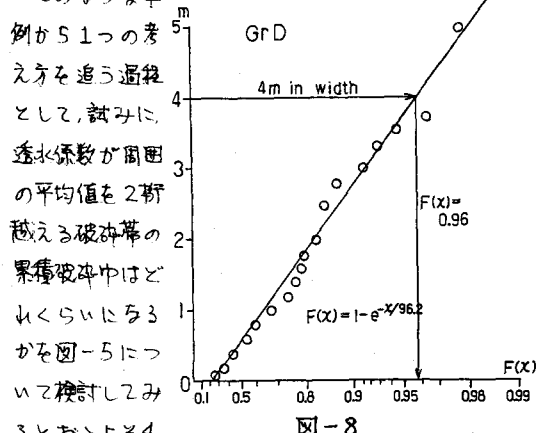


図-7

(金木 1982)この場合にも2桁の透水係数の差は、明りょう水みちを示しており、平均湧水量は、均質岩体と比べ2桁の差を生じている。

このような事  $\Sigma(\text{tract width})/10m \text{ cores}$



あとがき: ここでは、地質分離運動性分布と透水性の相対について、いくつかの目録の良い例をあげ、モデル化についての基本的な考え方を示すことにとめた。

(3) INFLUENCE OF DISTRIBUTION AND PROPERTIES OF GEOLOGICAL  
DISCONTINUITIES TO THE PERMEABILITY OF GRANITIC ROCKMASS

Keiji KOJIMA University of Tokyo  
Hiroshi KONDO Mitsubishi Coal Mine  
Takeyasu SUZUKI Kumagai Gumi Co.

The fracture characteristics of granitic rock mass in Japan are described here for the relation of permeability.

Some typical figures are shown in this paper which give the relationship between hydraulic conductivity and some properties of geological discontinuities such as joints and faults. Especially, main flowpath of undergroundwater is in the remarkable fractured zones in rockmass, so it was found that the discontinuities are highly related to the permeability, which are expressed by the cumulative width of fractured zone in each 10 m of cores. And this index for permeability shows negative exponential distribution.

Then the basic conception is discussed for the prediction of fracture distribution in actual rockmass and for making appropriate models to numerical calculation.